



INFLUÊNCIA DO pH NO USO DE NANOSORVENTE MAGNÉTICO NA REMOÇÃO DE AVERMECTINAS DE MATRIZES AMBIENTAIS AQUOSAS.

Lawanda F. S. Domingos (G)¹, Luan F. Costa (G)¹, Raphael R. Bretz (PG)¹, Maria C. Silva (PQ)¹

¹ Departamento de Ciências Naturais (DCNAT), Universidade Federal de São João del Rei, São João del Rei–MG, Brasil. *crisiria@ufsj.edu.br

RESUMO

Um nanocompósito magnético constituído por carvão ativado e magnetita (AC/Fe₃O₄) foi empregado na remoção de abamectina (ABA) e eprinomectina (EPR) de matrizes aquosas. Esse material foi sintetizado a partir de resíduos provenientes da mineração de ferro (RMF).No presente estudo, os ensaios de adsorção foram conduzidos considerando a variação de parâmetros, com ênfase no pH da solução aquosa. Os resultados indicaram que a condição mais eficiente de remoção ocorreu em pH 5, utilizando 25 mg do adsorvente, com tempo de equilíbrio próximo a 60 minutos. A eficiência máxima de remoção observada para ABA e EPR foram de aproximadamente 85,32 ±2,24 % e 90,67 ± 1,01 % respectivamente. Dessa forma, o nanocompósito AC/Fe₃O₄ demonstrou ser uma alternativa promissora para a remoção de avermectinas de efluentes domésticos e industriais, contribuindo para a mitigação da contaminação ambiental por resíduos farmacêuticos.

Palavras-chave: Abamectina, eprinomectina, adsorção, nanocompósito.

Introdução

As avermectinas, que são um grupo de substâncias usadas como antiparasitários na medicina veterinária e na agricultura, têm sido encontradas frequentemente em ambientes aquáticos. Isso acontece principalmente por causa do descarte inadequado e da baixa velocidade com que essas substâncias se decompõem. Avermectinas como a ivermectina, abamectina e eprinomectina possuem baixa solubilidade em água, mas são persistentes no ambiente e podem ser tóxicas para organismos que vivem na água, o que as torna uma preocupação importante para o meio ambiente (1).

Por isso, cada vez mais cresce o interesse em desenvolver métodos eficientes e sustentáveis para remover essas moléculas da água. Uma estratégia que tem se mostrado promissora é o uso de nanosorventes magnéticos. Esses materiais têm uma grande área de contato, são seletivos na sua ação e podem ser facilmente recuperados usando um campo magnético. No entanto, a capacidade desses nanosorventes de captar as avermectinas depende de fatores como o pH da solução e outras características físico-químicas, que podem influenciar bastante na eficiência do processo (2).

Experimental

Lixiviação ácida e determinação de ferro.

Para realizar a lixiviação ácida, foram usados 74,0 g de rejeito, que continha aproximadamente 40,98% de ferro, junto com 15.0 mL de água destilada e 170.0 mL de HCl P.A. Essa mistura foi aquecida a 80°C e agitada por duas horas. A concentração de Fe(III) no lixiviado ácido foi determinada por espectrofotometria no UV-visível pelo método da orto-fenantrolina. O procedimento envolve a redução prévia dos íons Fe(II) em Fe(III) e a formação de

um complexo colorido [Fe(o-fen)3] que absorve a 510 nm (3). A curva de calibração obtida mostrou-se linear na faixa investigada (0, 25 – 2,0 mg/L) (4).

Sintese CA/Fe₃O₄

68 mmol de ferro III foram dissolvidos em 250 mL de água destilada. Em seguida, adicionou-se 8 g de carvão ativado comercial, mantendo-se a suspensão sob agitação e aquecimento a 80°C em atmosfera de nitrogênio. Em seguida, foram gotejados 34,5 mmol de $FeSO_{4-7}H_2O$ e 50 mL de NH_4OH a 28% (v/v). A mistura foi agitada por uma hora. O precipitado preto foi coletado com um imã, lavado até atingir pH neutro e seco em estufa a 60°C.

Ensaios de Adsorção.

O efeito do pH foi avaliado em ensaios de adsorção variando-se o pH da solução de água destilada em 5, 6, 7 e 9 . Em frascos erlenmeyer foram adicionados 25 mg do adsorvente e 1,6 mL de solução de ABA e EPR diluídas em 10 mL de água destilada com diferentes pHs. As suspensões foram agitadas em incubadora, com agitação orbital a 200 rpm, por 60 minutos a 25°C. As análises foram realizadas em HPLC da Agilent®, utilizando uma coluna analítica Phenomenex® Gemini C18. A fase móvel foi constituída de acetonitrila: metanol: água (53: 35: 12, v/v/v), com uma vazão de 1,5 mL min-1, volume de injeção da amostra de 20 μL. Os dados cromatográficos foram obtidos a 250 nm utilizando um detector ultravioleta-visível.

Determinação do pH no ponto de carga zero (pHpcz).

Para a determinação do pH_{PCZ} do material adsorvente foram utilizadas soluções aquosas com os pHs de 2,0; 4,0; 6,0; 8,0; 10,0 e 12,0. Os pHs das soluções foram ajustados com NaOH e HCl (ambos a 0,1 M). Assim 0,025g do material adsorvente foram adicionados a 10 mL de cada uma das soluções, o meio foi agitado

por 1 minuto, o pH inicial foi medido e após repouso de 24h mediu-se o pH final. O valor de pH_{PCZ} foi determinado por meio de um gráfico de pH inicial versus pH final.

Resultados e Discussão

O pH da amostra possui grande influência sobre a carga líquida da superficie do material adsorvente e também sobre as propriedades físico-químicas dos analitos, possuindo grande potencial de favorecer ou prejudicar o processo de adsorção (5).

O estudo do pH_{PCZ} é uma ferramenta importante para entender o comportamento da carga líquida do material adsorvente, dependendo do pH do meio, colaborando para a previsão de melhores condições de adsorção. A figura 1 apresenta a curva experimental para o teste de PCZ para o nanocompósito de Magnetita/Carvão Ativado sintetizado neste estudo.

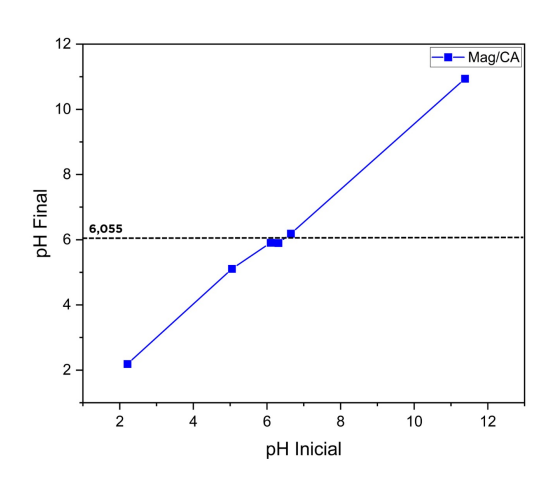


Figura 1. pH_{PCZ} para compósito de magnetita e carvão ativado. Fonte autoria própria

O resultado do teste de pH_{PCZ} indica que no valor de pH 6,055 o nanocompósito está eletricamente neutro, ou seja, ocorre um equilíbrio entre as cargas positivas e negativas presentes em sua superfície. Valores de pH inferiores a 6,055 indicam protonação do material, ou seja, os grupos funcionais ionizáveis do material estão carregados positivamente. Já em valores superiores a 6,055, a superfície do material apresenta carga negativa.

Foi investigado a influência do pH em uma faixa de 5,0 a 9,0. Os resultados podem ser observados na figura a seguir (figura 2).

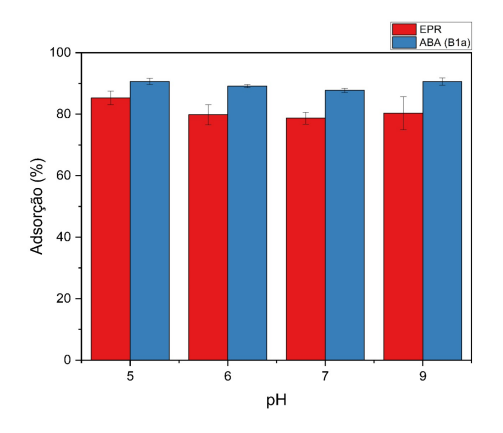


Figura 2. Influência do pH na eficiência da adsorção.

É possível observar que, para a faixa de pH estudada, os resultados não apresentaram diferença considerável para valores de adsorção. O pH 5,0 apresentou porcentagem de adsorção ligeiramente superior aos outros valores, sendo de 85,32 \pm 2,24 % para a EPR e 90,67 \pm 1,01 % para a ABA B1a. Neste valor de pH o nanocompósito possui carga superficial positiva, devido ao seu valor de pH_{PCZ} (6,055). Os valores de pKa para ABA e EPR são de 7,66 e 12,49 respectivamente (6,7). No pH 5,0, que apresentou os

melhores resultados de adsorção, ambas as moléculas estão neutras, descartando interações eletrostáticas com o adsorvente. Assim, os processos predominantes entre os analitos e o nanocompósito envolvem efeitos hidrofóbicos, interações π - π (6) e forças de dispersão de London, mediadas por dipolos induzidos (8).

Conclusões

A remoção de ABA e EPR de soluções aquosas usando o nanocompósito de carvão ativado com Fe₃O₄ mostrou um desempenho muito eficiente, apresentando altas taxas de adsorção em todos os testes realizados. Os resultados indicam que o pH exerce um papel crítico na adsorção de EPR e ABA B1a pelo nanocompósito de Magnetita/Carvão Ativado, embora, na faixa testada (pH 5,0-9,0), as diferenças nas eficiências de adsorção não tenham sido tão consideráveis. o pH 5,0 foi a condição mais favorável para a adsorção de EPR (85,32%) e ABA B1a (90,67%) pelo nanocompósito. Nesse pH, o material apresenta carga superficial positiva, enquanto os analitos permanecem neutros. A adsorção ocorreu predominantemente por mecanismos não eletrostáticos, como interações hidrofóbicas, π - π e forças de dispersão de London mediadas por dipolos induzidos. Esses resultados destacam a eficiência do nanocompósito mesmo na ausência de atração eletrostática Além disso, usar o AC/Fe₃O₄ como adsorvente é uma opção mais sustentável e com menor impacto ambiental, o que reforça seu potencial em métodos mais ecológicos para tratar resíduos líquidos.

Agradecimentos

Agradeço à minha orientadora Maria Cristina Silva, à UFSJ, aos colegas do grupo LABIM e aos órgãos de fomento FAPEMIG e CNPq.

Referências

- 1. J. Org. Chem. 1996, 61, 4439-4445.Kolar, L. S., et al. (2008). Environmental fate and effects of ivermectin in aquatic ecosystems. Environmental Toxicology and Chemistry, 27(4), 933–938.
- 2. Darezereshki, E.; Darban, A. K.; Abdollahy, M.; Jamshidi, A. Synthesis of magnetite nanoparticles from iron ore tailings using a novel reduction- precipitation method. Journal of Alloys and Compounds, v. 749, pp. 336-343, 2018.
- 3. GREENBERG, A.E.; CLESCERI, L.S.; EATON, A.D.; FRANSON, M.A.H. (Eds.), Standard Methods for the Examination of Water and Wastewater (18th ed.), American Public Health Association, American Water Works Association, Water Environment Federation, Washington (1992), p.3.
- 4. VICENTE, W. C. et al. DETERMINAÇÃO DE FERRO TOTAL EM SUPLEMENTOS ALIMENTARES POR ESPECTROMETRIA DE ABSORÇÃO MOLECULAR. Anais da Mostra de Ensino, Pesquisa, Extensão e Cidadania (MEPEC)-ISSN 2596-0954, v. 1, p. 59-63, 2016.
- Shi Z, Li Q, Xu D, Huai Q, Zhang H. Graphene-based pipette tip solid-phase extraction with ultra-high performance liquid chromatography and tandem mass spectrometry for the analysis of carbamate pesticide residues in fruit juice. J Sep Sci. 2016 Nov;39(22):4391-4397.
- Florez, D.H.A., Teixeira, R.A., da Silva, R.C.S., Pires, B.C., Dutra, F.V.A., Borges, K., 2018. Pipette-tip solid-phase extraction using polypyrrole as efficient adsorbent for extraction of avermectins and milbemycins in milk. Anal. Bioanal. Chem. 410, 3361–3374
- 7. Chemizalize. https://chemicalize.com/ (acessado em Julho 2025)
- 8. Kumar, K. V., et al. (2020). "The role of van der Waals forces and π - π interactions in the adsorption of organic molecules on carbonaceous materials." Journal of Molecular Liquids, 298, 112008.